



دانشکده مهندسی مکانیک

تحلیل دینامیکی سازه یک موشک هدایت شونده

حسن گلزار

پایان نامه کارشناسی ارشد
در رشته
مهندسی هوافضا-سازه های هوایی

استاد راهنما:
دکتر حمید احمدیان

شهریور ماه ۱۳۸۲

تشکر و قدر دانی

سپاس پروردگار بزرگ را که در انجام این تحقیق و در تمامی مراحل زندگی راهنمای رسان حقیقی من بوده است.

بر خود لازم می دانم از استاد بزرگوار آقای دکتر حمید احمدیان که در انجام این تحقیق با صبر و حوصله راهنمای اینجانب بودند تشکر و قدردانی نمایم.

همچنین از آقایان مهندس تورج افیونیان و حسن جلالی که در انجام آزمایش‌های مودال مجموعه مورد نظر، از مساعدت ایشان استفاده نموده ام تشکر نمایم.

چکیده

عموماً بین خواص دینامیکی سازه ای محاسبه شده به روش المان محدود و نتایج حاصل از داده تجربی آزمایش روی سازه اصلی اختلاف وجود دارد. برای ایجاد مدل مناسب و پیشگویی خواص دینامیکی سازه و بهینه کردن طراحی، بایستی مدل معتبر باشد. فرآیند معتبر سازی مدل و مراحل منحصر بفرد آن باعث می‌شود، عملکرد سازه مدلسازی شده با مدل واقعی یکسان باشد. لذا باعث می‌شود فرآیند معتبر سازی مدل، عنوان یک صورت مسئله مطرح گردد.

استراتژی معتبر سازی مدل در مقدمه این پایان نامه آمده است با مطالعه این استراتژی حاضر تا انتهای این پایان نامه روشنی برای معتبر سازی مدل سازه قدرتی یک موشک هدایت شونده ارائه خواهد شد. با استفاده از مدل‌های معتبر سازه‌های مورد بحث می‌توان برای ساخت و طراحی جدید از این مدل المان محدود در کاهش زمان حلقه طراحی - آزمایش - طراحی مجدد استفاده نمود که در نهایت در صنایع مرتبط مورد استفاده عملی خواهد گرفت. در این کار نشان داده شده است که بهینه سازی مدل فقط می‌تواند اختلافهای ایجاد شده بوسیله پارامترهای ایجاد خطأ را کاهش دهد.

در این پایان نامه معتبر سازی مدل، بوسیله کنترل همگرایی در ساخت ماتریس جرم و سختی و کنترل شکل مودها و مقادیر ویژه بدست آمده از طریق المان محدود و روش تجربی، پیشنهاد داده شده تا به ترتیب خطاهای گسسته سازی و خطاهای پیکربندی در مدل المان محدود به حداقل برسد.

در این پایان نامه توجه خاصی به تعیین مشخصات دینامیکی اتصالات با استفاده از داده‌های تجربی و بهینه سازی در یک موشک تاکتیکی را مد نظر داشته است. از این مدل معتبر شده می‌توان جهت تحلیل دینامیکی سازه استفاده نمود.

فهرست مطالب

صفحه

عنوان

فصل ۱ مدلسازی اجزاء محدود زیر سازه ها

| | |
|----|---|
| ۱ | ۱-۱ مقدمه |
| ۵ | ۱-۲ مشخصات اجزاء سازه |
| ۵ | ۱-۲-۱ زیر سازه بدنه کلاهک |
| ۹ | ۱-۲-۲ زیر سازه بدنه سرجنگی |
| ۱۳ | ۱-۲-۳ زیر سازه بدنه جلویی |
| ۱۷ | ۱-۲-۴ زیر سازه بدنه موتور پرواز |
| ۲۰ | ۱-۲-۵ زیرسازه بدنه درپوش موتور پرواز |
| ۲۲ | ۱-۲-۶ زیرسازه بدنه میانی |
| ۲۵ | ۱-۲-۷ زیرسازه بدنه انتهایی |
| ۲۹ | ۱-۲-۸ خلاصه نتایج زیر سازه ها |
| ۳۰ | ۱-۳ مدلسازی اتصالات سازه ها با المان واسط |
| ۳۵ | ۱-۳-۱ اتصال زیر سازه های کلاهک و سرجنگی |
| ۳۸ | ۱-۳-۲ اتصال زیر سازه های کلاهک و سرجنگی با بدنه جلویی (A&B&C) |
| ۴۱ | ۱-۳-۳ اتصال زیر سازه های C با بدنه موتور پرواز |
| ۴۴ | ۱-۳-۴ اتصال زیر سازه های A,B,C,D با بدنه درپوش موتور پرواز |
| ۴۶ | ۱-۳-۵ اتصال بدنه های انتهایی و میانی |
| ۴۹ | ۱-۳-۶ اتصال سازه قدرتی موشک از ناحیه سازه های E و F |
| ۵۱ | ۱-۳-۷ اتصال تقویت کننده در سازه موشک |
| ۵۴ | ۱-۴ نتیجه گیری |

فصل ۲ آزمایش آنالیز مodal بر روی زیر سازه ها

| | |
|----|-------------------------------------|
| ۵۵ | ۲-۱ مقدمه |
| ۵۶ | ۲-۲ آماده سازی سازه |
| ۵۷ | ۲-۳ سیستم اندازه گیری |
| ۵۸ | ۲-۳-۱ مکانیزم تحریک سازه |
| ۵۹ | ۲-۳-۱-۱ نصب شیکر و اتصال آن به سازه |
| ۶۰ | ۲-۳-۱-۲ چکش ضربه |
| ۶۳ | ۲-۳-۲ سنسورهای اندازه گیری |
| ۶۳ | ۲-۳-۲-۱ اندازه گیری نیرو |
| ۶۳ | ۲-۳-۲-۲ اندازه گیری پاسخ |

| | |
|----|---|
| ۶۴ | ۲-۳-۲-۳ روش‌های ساده برای نصب |
| ۶۵ | ۲-۳-۲-۴ نصب شتابسنج ها |
| ۶۶ | ۲-۳-۳ تحلیلگر |
| ۶۷ | ۲-۳-۳-۱ تحلیلگر پاسخ فرکانسی (FRA) |
| ۶۷ | ۲-۳-۳-۲ تحلیلگر DFT/FFT |
| ۶۸ | ۲-۳-۳-۳ سیستمهای کامپیوتري |
| ۶۸ | ۴-۲ انجام آزمایش‌های مودال بر روی زیر سازه ها |
| ۷۰ | ۴-۲-۱ انجام آزمایش مودال بر روی زیر سازه کلاهک A |
| ۷۰ | ۴-۲-۲ انجام آزمایش مودال بر روی زیر سازه بدن سرجنگي B |
| ۷۱ | ۴-۲-۴-۳ انجام آزمایش مودال بر روی زیر سازه بدن جلوبي C |
| ۷۲ | ۴-۲-۴-۴ انجام آزمایش مودال بر روی زیر سازه بدن موتور پرواز D |
| ۷۳ | ۴-۲-۴-۵ انجام آزمایش مودال بر روی زیر سازه بدن درپوش موتور پرواز E |
| ۷۴ | ۴-۲-۴-۶ انجام آزمایش مودال بر روی زیر سازه بدن ميانى F |
| ۷۵ | ۴-۲-۴-۷ انجام آزمایش مودال بر روی زیر سازه بدن انتهائي G |
| ۷۷ | ۴-۲-۴-۸ انجام آزمایش مودال بر روی مجموعه اتصال زير سازه هاي کلاهک و سرجنگي (A,B) |
| ۷۸ | ۴-۲-۴-۹ انجام آزمایش مودال بر روی مجموعه اتصال زير سازه هاي B با بدن جلوبي |
| ۷۹ | ۴-۲-۴-۱۰ انجام آزمایش مودال بر روی مجموعه زير سازه هاي A,B,C و زير سازه بدن موتور پرواز |
| ۸۱ | ۴-۲-۴-۱۱ انجام آزمایش مودال بر روی مجموعه اتصال زير سازه هاي A,B,C,D با بدن درپوش موتور پرواز |
| ۸۲ | ۴-۲-۴-۱۲ انجام آزمایش مودال بر روی مجموعه اتصال زير سازه هاي بدن هاي انتهائي و ميانى |
| ۸۳ | ۴-۲-۴-۱۳ انجام آزمایش مودال بر روی مجموعه سازه قدرتی موشك |
| ۸۴ | ۴-۲-۴-۱۴ انجام آزمایش مودال بر روی سازه تقويت شده |
| ۸۶ | ۵-۲ روش‌های تحلیل و استخراج پارامترهای مودال |
| ۸۷ | ۵-۱ فرضيات و ساده سازی |
| ۸۷ | ۵-۲ روند تحلیل مودال |
| ۸۸ | ۵-۲-۱ روش‌های تحلیل MDOF یا SDOF |
| ۹۰ | ۵-۲-۲ روش تحلیل SISO یا SIMO |
| ۹۲ | ۵-۲-۳ روش تحلیل SDOF در حوزه فرکانس |
| ۹۳ | ۵-۳-۱ روش Peak_Picking |
| ۹۴ | ۵-۳-۲ روش Circle_Fit |
| ۹۵ | ۵-۳-۳ روش Line_Fit |
| ۹۸ | ۶-۲ روش تحلیل MDOF در حوزه فرکانس |
| ۹۷ | ۶-۱ روش حداقل مربعات |
| ۹۸ | ۶-۲ روش چند جمله اى كسرى منطقى |
| ۹۹ | ۷-۲ مشخصه های دینامیکی حاصل از آزمایش زیر سازه ها |

| | |
|-----|---|
| ۹۹ | ۲-۷-۱ مشخصه های دینامیکی زیر سازه کلاهک |
| ۱۰۱ | ۲-۷-۲ مشخصه های دینامیکی زیر سازه سرجنگی |
| ۱۰۴ | ۲-۷-۳ مشخصه های دینامیکی زیر سازه بدن جلویی |
| ۱۰۶ | ۲-۷-۴ مشخصه های دینامیکی زیر سازه بدن موتور پرواز |
| ۱۰۸ | ۲-۷-۵ مشخصه های دینامیکی زیر سازه درپوش موتور پرواز |
| ۱۰۹ | ۲-۷-۶ مشخصه های دینامیکی زیر سازه بدن میانی |
| ۱۱۱ | ۲-۷-۷ مشخصه های دینامیکی زیر سازه بدن انتهایی |
| ۱۱۳ | ۲-۷-۸ مشخصه های دینامیکی زیر سازه های کلاهک و سرجنگی |
| ۱۱۶ | ۲-۷-۹ مشخصه های دینامیکی اتصال زیرسازه های A,B با بدن جلویی |
| ۱۱۸ | ۲-۷-۱۰ مشخصه های دینامیکی اتصال چهار زیر سازه ابتدایی |
| ۱۲۱ | ۲-۷-۱۱ مشخصه های دینامیکی اتصال پنج زیر سازه ابتدایی |
| ۱۲۳ | ۲-۷-۱۲ مشخصه های دینامیکی اتصال دو زیر سازه های انتهایی |
| ۱۲۵ | ۲-۷-۱۳ مشخصه های دینامیکی سازه قدرتی موشک |
| ۱۲۷ | ۲-۷-۱۴ مشخصه های دینامیکی سازه قدرتی (تقویت شده) موشک |
| ۱۲۸ | ۲-۸ نتیجه گیری |

فصل ۳ معتبرسازی مدل‌های المان محدود

| | |
|-----|--|
| ۱۲۹ | ۳-۱ مقدمه |
| ۱۲۹ | ۳-۲ روش‌های اصلاح مدل در حوزه مودال |
| ۱۲۹ | ۳-۲-۱ روش حساسیت مقادیر ویژه و بردارهای ویژه |
| ۱۳۳ | ۳-۲-۲ روش معادله خطا |
| ۱۳۴ | ۳-۲-۳ روش پارامتر خطا |
| ۱۳۷ | ۳-۳ معتبرسازی مدل المان محدود زیرسازه ها |
| ۱۳۷ | ۳-۳-۱ معتبرسازی مدل المان محدود زیرسازه کلاهک |
| ۱۳۸ | ۳-۳-۲ معتبرسازی مدل المان محدود زیرسازه سرجنگی |
| ۱۳۸ | ۳-۳-۳ معتبرسازی مدل المان محدود زیر سازه بدن جلویی |
| ۱۳۹ | ۳-۳-۴ معتبرسازی مدل المان محدود زیر سازه بدن موتور پرواز |
| ۱۴۰ | ۳-۳-۵ معتبرسازی مدل المان محدود زیر سازه درپوش موتور پرواز |
| ۱۴۰ | ۳-۳-۶ معتبرسازی مدل المان محدود زیر سازه بدن میانی |
| ۱۴۱ | ۳-۳-۷ معتبرسازی مدل المان محدود زیر سازه زیرسازه بدن انتهایی |
| ۱۴۲ | ۳-۳-۸ معتبرسازی مدل اتصال زیرسازه کلاهک و سرجنگی |
| ۱۴۳ | ۳-۳-۹ معتبرسازی مدل اتصال زیرسازه A و B با زیرسازه بدن جلویی |
| ۱۴۴ | ۳-۳-۱۰ معتبرسازی مدل اتصال زیرسازه A و B و C با زیرسازه موتور پرواز |
| ۱۴۵ | ۳-۳-۱۱ معتبرسازی مدل اتصال چهار زیرسازه ابتدایی با زیرسازه درپوش موتور پرواز |

۱۴۶ ۳-۳-۱۲ معتبر سازی مدل اتصال زیرسازه های بدنی میانی و بدنی انتهایی

۱۴۷ ۳-۳-۱۳ معتبر سازی مدل اتصال زیرسازه موشک

۱۴۸ ۳-۳-۱۴ معتبر سازی مدل اتصال سازه تقویت شده موشک

فصل ۴ بحث و نتیجه گیری

۱۵۲ مراجع و منابع

فهرست تصاویر و نمودارها

صفحه

عنوان

| | |
|----|---|
| ۵ | ۱-۱ سازه قدرتی یک موشک ضد زره |
| ۶ | ۱-۲ ابعاد بدنه کلاهک |
| ۶ | ۱-۳ نمودار تغییرات فرکانس‌های طبیعی نسبت به تعداد المان |
| ۷ | ۱-۴ شکل مود اول زیرسازه کلاهک در فرکانس طبیعی ۳۱۸ هرتز |
| ۷ | ۱-۵ شکل مود دوم زیرسازه کلاهک در فرکانس طبیعی ۸۶۶ هرتز |
| ۸ | ۱-۶ شکل مود سوم زیرسازه کلاهک در فرکانس طبیعی ۱۶۰۸ هرتز |
| ۸ | ۱-۷ شکل مود چهارم زیرسازه کلاهک در فرکانس طبیعی ۲۵۲۹ هرتز |
| ۹ | ۱-۸ ابعاد هندسی بدنه سرجنگی |
| ۱۰ | ۱-۹ نمودار تغییرات فرکانس‌های طبیعی نسبت به تعداد المان |
| ۱۱ | ۱-۱۰ شکل مود اول سرجنگی در فرکانس طبیعی ۵۷۷ هرتز |
| ۱۱ | ۱-۱۱ شکل مود دوم سرجنگی در فرکانس طبیعی ۱۴۵۶ هرتز |
| ۱۲ | ۱-۱۲ شکل مود سوم سرجنگی در فرکانس طبیعی ۲۰۹۵ هرتز |
| ۱۲ | ۱-۱۳ شکل مود چهارم سرجنگی در فرکانس طبیعی ۲۶۶۹ هرتز |
| ۱۳ | ۱-۱۴ ابعاد هندسی زیر سازه بدنه جلویی |
| ۱۴ | ۱-۱۵ شکل مود اول زیر سازه بدنه جلویی در فرکانس طبیعی ۱۷۶ هرتز |
| ۱۵ | ۱-۱۶ شکل مود دوم زیر سازه بدنه جلویی در فرکانس طبیعی ۲۳۱ هرتز |
| ۱۵ | ۱-۱۷ شکل مود سوم زیر سازه بدنه جلویی در فرکانس طبیعی ۴۸۹ هرتز |
| ۱۶ | ۱-۱۸ شکل مود چهارم زیر سازه بدنه جلویی در فرکانس طبیعی ۶۲۳/۹ هرتز |
| ۱۷ | ۱-۱۹ ابعاد هندسی بدنه موتور پرواز |
| ۱۸ | ۱-۲۰ شکل مود اول موتور پرواز در فرکانس طبیعی ۴۰۵ هرتز |
| ۱۸ | ۱-۲۱ شکل مود دوم موتور پرواز در فرکانس طبیعی ۱۰۹۳ هرتز |
| ۱۹ | ۱-۲۲ شکل مود سوم موتور پرواز در فرکانس طبیعی ۱۹۷۵ هرتز |
| ۱۹ | ۱-۲۳ شکل مود چهارم موتور پرواز در فرکانس طبیعی ۲۷۷۷ هرتز |
| ۲۰ | ۱-۲۴ ابعاد هندسی بدنه درپوش موتور پرواز |
| ۲۱ | ۱-۲۵ شکل مود اول بدنه درپوش موتور پرواز در فرکانس طبیعی ۷۲۴ هرتز |
| ۲۱ | ۱-۲۶ شکل مود دوم بدنه درپوش موتور پرواز در فرکانس طبیعی ۱۸۵۸ هرتز |
| ۲۲ | ۱-۲۷ ابعاد هندسی زیرسازه بدنه میانی |
| ۲۳ | ۱-۲۸ شکل مود اول بدنه میانی در فرکانس طبیعی ۲۲۹/۹ هرتز |
| ۲۴ | ۱-۲۹ شکل مود دوم بدنه میانی در فرکانس طبیعی ۵۶۸ هرتز |
| ۲۴ | ۱-۳۰ شکل مود سوم بدنه میانی در فرکانس طبیعی ۱۰۵۷ هرتز |

- ۱-۳۱ شکل مود چهارم بدنه میانی در فرکانس طبیعی ۱۲۵۸ هرتز
 ۱-۳۲ ابعاد هندسی زیرسازه بدنه انتهایی
 ۱-۳۳ شکل مود اول زیرسازه بدنه انتهایی در فرکانس طبیعی ۴۹ هرتز
 ۱-۳۴ شکل مود دوم زیرسازه بدنه انتهایی در فرکانس طبیعی ۸۵ هرتز
 ۱-۳۵ شکل مود سوم زیرسازه بدنه انتهایی در فرکانس طبیعی ۱۵۶ هرتز
 ۱-۳۶ شکل مود چهارم زیرسازه بدنه انتهایی در فرکانس طبیعی ۲۳۶ هرتز
 ۱-۳۷ المان ضخامت صفر ارائه شده توسط گودمن، تیلور و برک
 ۱-۳۸ مقایسه بین داده های آزمایش و مدل هیپربولیک
 ۱-۳۹ مدل هیپربولیک بکار گرفته شده توسط کلاف و دانسن
 ۱-۴۰ اتصال بین دو بدن ابتدایی
 ۱-۴۱ شکل مود اول دو بدن ابتدایی در فرکانس طبیعی ۱۶۵۳ هرتز
 ۱-۴۲ شکل مود دوم دو بدن ابتدایی در فرکانس طبیعی ۱۹۹۲ هرتز
 ۱-۴۳ شکل مود سوم دو بدن ابتدایی در فرکانس طبیعی ۲۶۹۲ هرتز
 ۱-۴۴ شکل مود چهارم دو بدن ابتدایی در فرکانس طبیعی ۲۷۶۰ هرتز
 ۱-۴۵ اتصال بین سه بدن ابتدایی
 ۱-۴۶ شکل مود اول زیرسازه های A,B,C در فرکانس طبیعی ۵۲۵ هرتز
 ۱-۴۷ شکل مود دوم زیرسازه های A,B,C در فرکانس طبیعی ۶۱۳ هرتز
 ۱-۴۸ شکل مود سوم زیرسازه های A,B,C در فرکانس طبیعی ۹۷۱ هرتز
 ۱-۴۹ نمایش اتصال بین چهار زیرسازه ابتدایی
 ۱-۵۰ شکل مود اول زیرسازه های A,B,C,D در فرکانس طبیعی ۶۵۶ هرتز
 ۱-۵۱ شکل مود دوم زیرسازه های A,B,C,D در فرکانس طبیعی ۷۲۱ هرتز
 ۱-۵۲ شکل مود سوم زیرسازه های A,B,C,D در فرکانس طبیعی ۸۷۷ هرتز
 ۱-۵۳ شکل مود سوم بدن های D,A,B,C,D در فرکانس طبیعی ۱۲۳۶ هرتز
 ۱-۵۴ نمایش اتصال بین پنج زیرسازه ابتدایی
 ۱-۵۵ شکل مود اول زیرسازه های E,A,B,C,D در فرکانس طبیعی ۷۸۶ هرتز
 ۱-۵۶ شکل مود دوم زیرسازه های A,B,C,D,E در فرکانس طبیعی ۱۴۹۸ هرتز
 ۱-۵۷ شکل مود سوم زیرسازه های A,B,C,D,E در فرکانس طبیعی ۱۸۸۵ هرتز
 ۱-۵۸ نمایش اتصال بین دو زیرسازه انتهایی
 ۱-۵۹ شکل مود اول زیرسازه های F,G در فرکانس طبیعی ۱۰۸ هرتز
 ۱-۶۰ شکل مود دوم زیرسازه های F,G در فرکانس طبیعی ۱۶۷ هرتز
 ۱-۶۱ شکل مود سوم زیرسازه های G,F در فرکانس طبیعی ۲۸۲/۸ هرتز
 ۱-۶۲ شکل مود چهارم زیرسازه های G,F در فرکانس طبیعی ۵۵۶ هرتز
 ۱-۶۳ نمایش اتصال سازه موشک
 ۱-۶۴ شکل مود اول سازه موشک در فرکانس طبیعی ۴۱۳/۶ هرتز

| | |
|----|--|
| ۵۱ | ۱-۶۵ شکل مود دوم سازه موشک در فرکانس طبیعی $632/1$ هرتز |
| ۵۲ | ۱-۶۶ نمایش اتصال قطعه تقویت کننده در سازه موشک |
| ۵۲ | ۱-۶۷ شکل مود اول سازه موشک (تقویت شده) در فرکانس طبیعی 30.6 هرتز |
| ۵۳ | ۱-۶۸ شکل مود دوم سازه موشک (تقویت شده) در فرکانس طبیعی 58.6 هرتز |
| ۵۷ | ۲-۱ شمای کلی ایجاد شرایط تکیه گاهی آزاد |
| ۵۸ | ۲-۲ شمای کلی سیستم اندازه گیری |
| ۶۰ | ۲-۳ شمای کلی روش‌های نصب سیستمهای تحریک کننده |
| ۶۱ | ۲-۴ شمای کلی چکش ضربه |
| ۶۱ | ۲-۵ پالس نیروی ضربه و طیف |
| ۶۲ | ۲-۶ پالس نیروی ضربه و طیف آن با سرهای مختلف |
| ۶۳ | ۲-۷ ساختمان یک مبدل نیرو |
| ۶۴ | ۲-۸ دو طرح متدال شتابسنج پیزوالکتریک |
| ۶۴ | ۲-۹ مدل دینامیکی شتابسنج |
| ۶۶ | ۲-۱۰ نحوه نصب شتابسنج ها |
| ۶۹ | ۲-۱۱ تصویر تحلیلگر B&K 3550 |
| ۷۰ | ۲-۱۲ نمودار پاسخ فرکانسی FRF زیر سازه کلاهک A |
| ۷۱ | ۲-۱۳ نمودار پاسخ فرکانسی FRF روی زیر سازه بدن سرجنگی B |
| ۷۲ | ۲-۱۴ نمودار پاسخ فرکانسی FRF روی زیر سازه بدن جلویی C |
| ۷۳ | ۲-۱۵ نمودار پاسخ فرکانسی FRF روی زیر سازه بدن موتور پرواز D |
| ۷۴ | ۲-۱۶ نمودار پاسخ فرکانسی FRF روی زیر سازه بدن درپوش موتور پرواز E |
| ۷۵ | ۲-۱۷ نمودار پاسخ فرکانسی FRF روی زیر سازه بدن میانی F |
| ۷۶ | ۲-۱۸ نمودار پاسخ فرکانسی FRF روی زیر سازه بدن انتهایی G |
| ۷۷ | ۲-۱۹ اتصال بین دو بدن ابتدایی (A,B) |
| ۷۸ | ۲-۲۰ نمودار پاسخ فرکانسی FRF اتصال زیر سازه های کلاهک و سرجنگی |
| ۷۸ | ۲-۲۱ اتصال بین سه بدن ابتدایی |
| ۷۹ | ۲-۲۲ نمودار پاسخ فرکانسی FRF اتصال زیر سازه های A,B با بدن جلویی |
| ۸۰ | ۲-۲۳ نمایش اتصال بین روی چهار زیر سازه ابتدایی |
| ۸۰ | ۲-۲۴ نمودار پاسخ فرکانسی FRF اتصال زیر سازه های A,B,C با بدن موتور پرواز |
| ۸۱ | ۲-۲۵ نمایش اتصال بین پنج زیر سازه بدن ابتدایی |
| ۸۲ | ۲-۲۶ نمودار پاسخ فرکانسی FRF روی اتصال زیر سازه های A,B,C,D با بدن درپوش موتور پرواز |
| ۸۲ | ۲-۲۷ نمایش اتصال بین دو بدن انتهایی |
| ۸۳ | ۲-۲۸ نمودار FRF آزمایش آنالیز مودال روی دو زیرسازه انتهایی |
| ۸۳ | ۲-۲۹ تصویر آزمایش مودال روی سازه قدرتی موشک |
| ۸۴ | ۲-۳۰ نمودار پاسخ فرکانسی FRF روی سازه قدرتی بدن های موشک |

| | |
|-----|--|
| ۸۴ | ۲-۳۱ نمایش اتصال قطعه تقویت کننده با بدنه موشک |
| ۸۵ | ۲-۳۲ نمودار FRF حاصل از آزمایش مودال روی سازه تقویت شده موشک |
| ۸۸ | ۲-۳۳ مقایسه شماتیک روش‌های تحلیل مودال SDOF و MDOF |
| ۹۰ | ۲-۳۴ انتخاب منحنیهای a FRF و b SIMO () روش MIMO |
| ۹۳ | ۲-۳۵ منحنیهای FRF و تحلیل Peak_Picking |
| ۹۵ | ۲-۳۶ منحنی نایکوئیست |
| ۹۶ | ۲-۳۷ منحنی معکوس FRF بصورت یک خط راست |
| ۹۹ | ۲-۳۸ شکل مود اول زیرسازه کلاهک در فرکانس طبیعی ۲۷۰ هرتز |
| ۱۰۰ | ۲-۳۹ شکل مود دوم زیر سازه کلاهک در فرکانس طبیعی ۷۱۰/۶ هرتز |
| ۱۰۰ | ۲-۴۰ شکل مود سوم زیر سازه کلاهک در فرکانس طبیعی ۱۳۱۰ هرتز |
| ۱۰۱ | ۲-۴۱ شکل مود اول زیر سازه سرجنگی در فرکانس طبیعی ۵۴۷ هرتز |
| ۱۰۲ | ۲-۴۲ شکل مود دوم زیر سازه سرجنگی در فرکانس طبیعی ۱۳۸۹ هرتز |
| ۱۰۲ | ۲-۴۳ شکل مود سوم زیر سازه سرجنگی در فرکانس طبیعی ۲۲۲۱ هرتز |
| ۱۰۳ | ۲-۴۴ شکل مود چهارم زیر سازه سرجنگی در فرکانس طبیعی ۲۵۲۵ هرتز |
| ۱۰۴ | ۲-۴۵ شکل مود اول زیر سازه بدنه جلویی در فرکانس طبیعی ۱۶۹/۶ هرتز |
| ۱۰۴ | ۲-۴۶ شکل مود دوم زیر سازه بدنه جلویی در فرکانس طبیعی ۲۳۲/۵ هرتز |
| ۱۰۵ | ۲-۴۷ شکل مود سوم زیر سازه بدنه جلویی در فرکانس طبیعی ۴۶۲/۷ هرتز |
| ۱۰۵ | ۲-۴۸ شکل مود چهارم زیر سازه بدنه جلویی در فرکانس طبیعی ۶۱۰/۹ هرتز |
| ۱۰۶ | ۲-۴۹ شکل مود اول زیر سازه بدنه موتور پرواز در فرکانس طبیعی ۴۳۴/۷ هرتز |
| ۱۰۷ | ۲-۵۰ شکل مود دوم زیر سازه بدنه موتور پرواز در فرکانس طبیعی ۱۱۳۴ هرتز |
| ۱۰۷ | ۲-۵۱ شکل مود چهارم زیر سازه بدنه موتور پرواز در فرکانس طبیعی ۲۱۱۰ هرتز |
| ۱۰۸ | ۲-۵۲ شکل مود اول زیر سازه درپوش موتور پرواز در فرکانس طبیعی ۸۳۰/۰ هرتز |
| ۱۰۹ | ۲-۵۳ شکل مود دوم زیر سازه درپوش موتور پرواز در فرکانس طبیعی ۲۲۱۵ هرتز |
| ۱۰۹ | ۲-۵۴ شکل مود اول زیر سازه بدنه میانی در فرکانس طبیعی ۲۱۷/۲ هرتز |
| ۱۱۰ | ۲-۵۵ شکل مود دوم زیر سازه بدنه میانی در فرکانس طبیعی ۵۳۴/۸ هرتز |
| ۱۱۰ | ۲-۵۶ شکل مود سوم زیر سازه بدنه میانی در فرکانس طبیعی ۹۸۳/۲ هرتز |
| ۱۱۱ | ۲-۵۷ شکل مود اول زیرسازه بدنه انتهایی در فرکانس طبیعی ۴۴ هرتز |
| ۱۱۱ | ۲-۵۸ شکل مود دوم زیرسازه بدنه انتهایی در فرکانس طبیعی ۸۱ هرتز |
| ۱۱۲ | ۲-۵۹ شکل مود سوم زیرسازه بدنه انتهایی در فرکانس طبیعی ۱۵۰/۴ هرتز |
| ۱۱۲ | ۲-۶۰ شکل مود چهارم زیرسازه بدنه انتهایی در فرکانس طبیعی ۲۲۵/۸ هرتز |
| ۱۱۳ | ۲-۶۱ شکل مود اول اتصال زیر سازه های کلاهک و سرجنگی در فرکانس طبیعی ۱۶۲۲ هرتز |
| ۱۱۴ | ۲-۶۲ شکل مود دوم اتصال زیر سازه های کلاهک و سرجنگی در فرکانس طبیعی ۱۸۳۰ هرتز |
| ۱۱۴ | ۲-۶۳ شکل مود سوم اتصال زیر سازه های کلاهک و سرجنگی در فرکانس طبیعی ۲۵۳۸ هرتز |
| ۱۱۵ | ۲-۶۴ شکل مود چهارم اتصال زیر سازه های کلاهک و سرجنگی در فرکانس طبیعی ۲۶۹۸ هرتز |

- ۲-۶۵ شکل مود اول اتصال زیر سازه های A,B با بدنه جلویی در فرکانس طبیعی $323/5$ هرتز
 ۱۱۶ ۲-۶۶ شکل مود دوم اتصال زیر سازه های A,B با بدنه جلویی در فرکانس طبیعی 436 هرتز
 ۱۱۷ ۲-۶۷ شکل مود سوم اتصال زیر سازه های A,B با بدنه جلویی در فرکانس طبیعی 497 هرتز
 ۱۱۷ ۲-۶۸ شکل مود چهارم اتصال زیر سازه های A,B با بدنه جلویی در فرکانس طبیعی $534/7$ هرتز
 ۱۱۸ ۲-۶۹ شکل مود اول اتصال چهار زیر سازه ابتدایی در فرکانس طبیعی $698/9$ هرتز
 ۱۱۹ ۲-۷۰ شکل مود دوم اتصال چهار زیر سازه ابتدایی در فرکانس طبیعی 733 هرتز
 ۱۱۹ ۲-۷۱ شکل مود سوم اتصال چهار زیر سازه ابتدایی در فرکانس طبیعی 1077 هرتز
 ۱۲۰ ۲-۷۲ شکل مود چهارم اتصال چهار زیر سازه های ابتدایی پرواز در فرکانس طبیعی 1157 هرتز
 ۱۲۱ ۲-۷۳ شکل مود اول اتصال پنج زیر سازه های ابتدایی در فرکانس طبیعی 853 هرتز
 ۱۲۱ ۲-۷۴ شکل مود دوم اتصال پنج زیر سازه های ابتدایی در فرکانس طبیعی 1566 هرتز
 ۱۲۲ ۲-۷۵ شکل مود سوم اتصال پنج زیر سازه های ابتدایی در فرکانس طبیعی 1783 هرتز
 ۱۲۳ ۲-۷۶ شکل مود اول اتصال دو زیر سازه های انتهایی در فرکانس طبیعی $97/5$ هرتز
 ۱۲۳ ۲-۷۷ شکل مود دوم اتصال دو زیر سازه های انتهایی در فرکانس طبیعی $155/4$ هرتز
 ۱۲۴ ۲-۷۸ شکل مود سوم اتصال دو زیر سازه های انتهایی در فرکانس طبیعی $275/5$ هرتز
 ۱۲۴ ۲-۷۹ شکل چهارم اتصال دو زیر سازه های انتهایی در فرکانس طبیعی $554/8$ هرتز
 ۱۲۵ ۲-۸۰ شکل مود اول خمینی سازه قدرتی موشک در فرکانس طبیعی $378/38$ هرتز
 ۱۲۶ ۲-۸۱ شکل مود دوم خمینی سازه قدرتی موشک در فرکانس طبیعی 516 هرتز
 ۱۲۷ ۲-۸۲ شکل مود اول خمینی سازه قدرتی (تقویت شده) موشک در فرکانس طبیعی $339/2$ هرتز
 ۱۲۷ ۲-۸۳ شکل مود دوم خمینی سازه قدرتی (تقویت شده) موشک در فرکانس طبیعی 546 هرتز
 ۱۴۳ ۳-۱ نمودار تغییرات مدول الاستیسیته لایه واسط زیر سازه های AB
 ۱۴۴ ۳-۲ نمودار تغییرات مدول الاستیسیته لایه واسط زیر سازه های ABC
 ۱۴۵ ۳-۳ نمودار تغییرات مدول الاستیسیته لایه واسط زیر سازه های ABCD
 ۱۴۶ ۳-۴ نمودار تغییرات مدول الاستیسیته لایه واسط زیر سازه های ABCDE
 ۱۴۷ ۳-۵ نمودار تغییرات مدول الاستیسیته لایه واسط زیر سازه های CD
 ۱۴۸ ۳-۶ نمودار تغییرات مدول الاستیسیته لایه واسط زیر سازه های موشک

فهرست جداول

صفحه

عنوان

| | |
|-----|---|
| ۹ | ۱-۱ خلاصه نتایج حاصل از مدل اولیه زیر سازه کلاهک |
| ۱۳ | ۱-۲ خلاصه نتایج حاصل از مدل اولیه زیر سازه بدن سرجنگی |
| ۱۶ | ۱-۳ خلاصه نتایج حاصل از مدل اولیه زیر سازه بدن جلویی |
| ۲۰ | ۱-۴ خلاصه نتایج حاصل از مدل اولیه زیرسازه موتور پرواز |
| ۲۳ | ۱-۵ خلاصه نتایج حاصل از مدل اولیه زیرسازه درپوش موتور پرواز |
| ۲۵ | ۱-۶ خلاصه نتایج حاصل از مدل اولیه در زیرسازه بدن میانی |
| ۲۸ | ۱-۷ خلاصه نتایج حاصل از مدل اولیه زیرسازه بدن انتهایی |
| ۳۸ | ۱-۸ نتایج حاصل از مدل المان محدود اولیه اتصال دو زیر سازه ابتدایی |
| ۴۰ | ۱-۹ نتایج حاصل از مدل المان محدود اولیه اتصال سه زیرسازه ابتدایی |
| ۴۴ | ۱-۱۰ نتایج حاصل از مدل المان محدود اولیه اتصال چهار زیرسازه ابتدایی |
| ۴۶ | ۱-۱۱ نتایج حاصل از مدل المان محدود اولیه اتصال پنج زیرسازه ابتدایی |
| ۴۹ | ۱-۱۲ خلاصه نتایج حاصل از مدل المان محدود اولیه زیرسازه های F,G |
| ۵۱ | ۱-۱۳ خلاصه نتایج حاصل از مدل اولیه، آزمایش آنالیز مودال و مدل معتبر شده |
| ۵۳ | ۱-۱۴ خلاصه نتایج حاصل از مدل اولیه سازه موشک (تقویت شده) |
| ۶۸ | ۲-۱ مشخصات شتاب سنج و حسگر نیرو |
| ۱۰۱ | ۲-۲ خلاصه نتایج آزمایش مودال روی زیرسازه بدن کلاهک |
| ۱۰۳ | ۲-۳ خلاصه نتایج آزمایش مودال روی زیرسازه سرجنگی |
| ۱۰۶ | ۲-۴ خلاصه نتایج آزمایش مودال روی زیرسازه بدن جلویی |
| ۱۰۸ | ۲-۵ خلاصه نتایج آزمایش مودال روی زیرسازه بدن موتور پرواز |
| ۱۰۹ | ۲-۶ خلاصه نتایج آزمایش مودال روی زیرسازه درپوش موتور پرواز |
| ۱۱۰ | ۲-۷ خلاصه نتایج آزمایش مودال روی زیرسازه بدن میانی |
| ۱۱۳ | ۲-۸ خلاصه نتایج آزمایش مودال روی زیرسازه انتهایی |
| ۱۱۵ | ۲-۹ خلاصه نتایج آزمایش مودال روی زیرسازه های کلاهک و سرجنگی |
| ۱۱۸ | ۲-۱۰ خلاصه نتایج آزمایش مودال روی اتصال زیر سازه های A,B با بدن جلویی |
| ۱۲۰ | ۲-۱۱ خلاصه نتایج آزمایش مودال روی اتصال چهار زیر سازه ابتدایی |
| ۱۲۲ | ۲-۱۲ خلاصه نتایج آزمایش مودال روی اتصال پنج زیر سازه ابتدایی |
| ۱۲۵ | ۲-۱۳ خلاصه نتایج آزمایش مودال روی اتصال دو زیر سازه انتهایی |
| ۱۲۶ | ۲-۱۴ خلاصه نتایج آزمایش مودال روی سازه قدرتی موشک |
| ۱۲۸ | ۲-۱۵ خلاصه نتایج آزمایش مودال روی سازه قدرتی (تقویت شده) موشک |

- ۳-۱ خلاصه نتایج حاصل از مدل اولیه، آزمایش آنالیز مودال و مدل معتبر شده در زیر سازه کلاهک
- ۳-۲ خلاصه نتایج حاصل از مدل اولیه، آزمایش آنالیز مودال و مدل معتبر شده بدنه سرجنگی
- ۳-۳ خلاصه نتایج حاصل از مدل اولیه، آزمایش آنالیز مودال و مدل معتبر شده بدنه جلویی
- ۳-۴ خلاصه نتایج حاصل از مدل اولیه، آزمایش آنالیز مودال و مدل معتبر شده بدنه موتور پرواز
- ۳-۵ خلاصه نتایج حاصل از مدل اولیه، آزمایش آنالیز مودال و مدل معتبر شده بدنه درپوش موتور پرواز
- ۳-۶ خلاصه نتایج حاصل از مدل اولیه، آزمایش آنالیز مودال و مدل معتبر شده بدنه میانی
- ۳-۷ خلاصه نتایج حاصل از مدل اولیه، آزمایش آنالیز مودال و مدل معتبر شده بدنه انتهایی
- ۳-۸ خلاصه نتایج حاصل از مدل اولیه، آزمایش آنالیز مودال و مدل معتبر شده اتصال زیرسازه کلاهک و سرجنگی
- ۳-۹ خلاصه نتایج حاصل از مدل اولیه، آزمایش آنالیز مودال و مدل معتبر شده اتصال زیرسازه های A و B و C
- ۳-۱۰ خلاصه نتایج حاصل از مدل اولیه، آزمایش آنالیز مودال و مدل معتبر شده اتصال چهار زیرسازه ابتدایی
- ۳-۱۱ خلاصه نتایج حاصل از مدل اولیه، آزمایش آنالیز مودال و مدل معتبر شده اتصال پنج زیرسازه ابتدایی
- ۳-۱۲ خلاصه نتایج حاصل از مدل اولیه، آزمایش آنالیز مودال و مدل معتبر شده دو زیرسازه انتهایی
- ۳-۱۳ خلاصه نتایج حاصل از مدل اولیه، آزمایش آنالیز مودال و مدل معتبر شده سازه موشک
- ۳-۱۴ خلاصه نتایج حاصل از مدل اولیه، آزمایش آنالیز مودال و مدل معتبر شده سازه تقویت شده موشک

فصل ۱

مدلسازی اجزاء محدود زیر سازه ها

۱-۱ مقدمه

تکنیک المان محدود (FE) و معتبر سازی مدل

استفاده از مدل المان محدود چهت پیش بینی خواص دینامیکی سازه ها در صنایع مکانیک مدرن بیشتر و بیشتر اهمیت یافته است، مثلاً در صنایع هواپما هرگاه هدف یک طراحی جدید یا اصلاح یک طرح، مد نظر باشد، بایستی قبل از اینکه سازه تکمیل گردد، خواص دینامیکی سازه محصول (فرکانس طبیعی، شکل مود و ضریب استهلاک) امتحان شود تا با مقادیر مد نظر از طرف صنعت مطابقت داشته و در زمان عملکرد با مشکلی مواجه نگردد.

روش معمول ارزیابی خواص دینامیکی یک سازه، انجام یک سری آزمایش‌های دینامیکی روی نمونه های پیش تولید محصول می‌باشد.

تا زمانی که نتایج تجربی نشان دهد نمونه پیش تولید میتواند مشخصات مربوطه را برآورده سازد، محصول طراحی مجدد خواهد داشت و حلقه طراحی - آزمایش ادامه خواهد داشت. در این حلقه طراحی - آزمایش - طراحی مجدد، زمان و هزینه زیادی روی ساخت نمونه و انجام آزمایش صرف میگردد.

با رشد توانایی تکنیک های کامپیوتری و قدرت رقابت بین شرکتها، از پیش بینی های مدل المان محدود بیشتر و بیشتر به جای داده های آزمایش دینامیکی تجربی استفاده میشود. از این گذشته تکنیک مدل سازی المان محدود ممکن است جهت پیش بینی پاسخ دینامیکی سازه ها در شرایط خارج از محدوده عملکرد بکار رود. چون آزمایش تجربی موارد فوق کاری بسیار مشکل و یا غیر ممکن می باشد. شبیه سازی این شرایط به دقت مدل المان محدود و همچنین به معتبر بودن مدل بستگی دارد.

تعريف مدل المان محدود معتبر، وابسته به روند ساخت مدل المان محدود می باشد. رفتار دینامیکی مدل معتبر باید تشابه قابل قبولی با رفتار سازه حقيقی مدنظر داشته باشد. معمولاً برای شبیه سازی یک سازه ابتدایی یک مدل ابتدایی بنا میگردد که پس از بهینه سازی و معتبر شدن، مدل باید قابلیت پیش بینی رفتار دینامیکی سازه را در محدوده ای که در فرآیند معتبر سازی از آن داده های تجربی استفاده شده است را داشته باشد. همچنین این مدل بایستی بتواند خواص دینامیکی سازه را در خارج از محدوده ای که آزمایش انجام شده است را پیش بینی نماید (البته با دقتی خاص).

اختلاف بین پیش بینی مدل با داده های تجربی

بطور معمول، نمیتوان تضمین کرد خواص دینامیکی حاصل از مدل المان محدود اولیه یک سازه صنعتی دقیقی قابل قبول داشته باشد و مستقیماً جایگزین داده های تجربی گردد. معمولاً اختلافهایی بین پیش بینی های مدل و داده های تجربی حاصل از آزمایش وجود دارد. در اندازه داده های تجربی از سازه حقيقی بعضی از خطاهای ناشی از اغتشاش میباشد ولی اغلب اختلافها به علت بی دقتی در مدلسازی میباشند. به همین دلیل باید مدل المان محدود مورد ارزیابی قرار گیرد تا صحت پیش بینی آن مورد ارزیابی قرار گیرد.

سه نوع خطا می تواند در مدل‌های المان محدود وجود داشته باشد. این سه نوع خطا میتوانند در طی ساخت مدل اتفاق بیافتد. خطاهای مؤثر در استخراج خواص دینامیکی مدل المان محدود بطور خلاصه شده زیر بیان میگردد.

الف) خطای گسسته سازی

مقدادر حاصل از مدل المان محدود گسسته بیشتر یا کمتر از خواص دینامیکی سازه پیوسته میباشد. هر چند زمانی که پیکربندی و متغیرهای مدل درست باشند. مرجع چنین اختلافاتی به خطاهای گسستگی مدل المان محدود بر میگردد. برای بدست آوردن خواص دینامیکی از یک مدل المان محدود هر دو ماتریس جرم و سختی مدل در محاسبه مشارکت مینمایند. بصورت ریاضی می توان بیان کرد، ساختار ماتریس جرم و سختی هر المان از مدل که در معادله حرکت مؤثر باشد برای یک سیستم پیوسته یک علت اصلی ایجاد خطاهای گسستگی میباشد.

ب) خطاهای پیکربندی

نوع المان مورد استفاده در مدل المان محدود، مخصوصاً المانهایی که در سازه نقش کلیدی دارند، مثلاً اتصالات تأثیر بسزایی در خواص دینامیکی مدل دارند. در فرآیند مدل سازی، بعضی اشکال فیزیکی مجبورند در مدل سازی ساده شوند. برای مثال در بدنه موتور هوایپما یا موشک در مدل سازی معمولی از المان پوسته استفاده میشود، هر چند در بعضی مکانها ضخامت پوسته مناسب برای مدل سازی با المان پوسته نمیباشد. فلنج های پوسته اغلب بوسیله المان تیر مدل سازی میگرددند. بعضی ساده ها تأثیر زیادی روی خواص دینامیکی مدل در محدود فرکانس پایین نمیگذارد اما در محدوده فرکانس بالا تأثیر گذار میباشد، ضمناً اگر بعضی قطعات یا قسمتهايی از سازه جزء اشکال "کلیدی" سازه باشند و در بعضی از مودها از مدل حذف شده باشند نبایستی انتظار برآورد خواص دینامیکی از این مودها را داشته باشید یا حداقل نمیتوان پیش بینی این مودها را دقیق دانست.

ج) خطای پارامتر ها

چون مدل المان محدود یک مدل ساده شده از سازه میباشد. ممکن است بعضی از پارامتر ها را غیر دقیق نماید. مهندسین بر اساس تجربیاتشان یا از روی تخمین مقدار مناسبی از مقادیر را بکار میرند. زمانی که مقدار این

پارامترها دقیق نباشد خواص دینامیکی حاصل دقیق نخواهد بوده زمانی که مدل تحت پرسوه بهینه سازی قرار گیرد و پارامترها غیر دقیق انتخاب شده باشند این فرآیند پارامترها را به مقادیر واقعی سیر میدهد. در پرسوه معتبر سازی مدل، مدل اولیه معمولاً دارای سه نوع خطای ذکر شده خواهد بود. تأثیر انواع خطاهای مختلف که در هم آمیخته میشوند باعث میگردد تا فرآیند معتبر سازی مدل، پیچیده تر از حالتی گردد که فقط یک نوع خطا در مدل وجود داشته باشد.

استراتژی معتبر سازی مدل

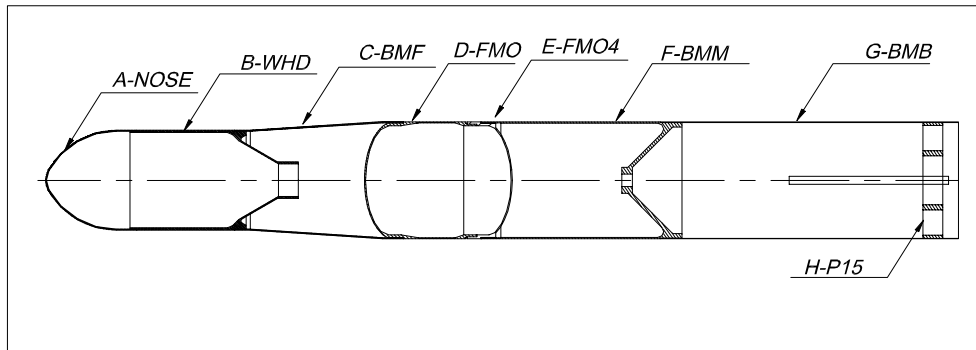
برای محاسبه و تخمین رفتار دینامیکی سازه مورد نظر این پایان نامه نیاز به مدلسازی مناسب سازه و کنترل مدل توسط آزمایش‌های تجربی مodal می باشد در عمل پس از مدلسازی اولیه تک تک قطعات به روش المان محدود(فصل ۱)، با استفاده از نتایج حاصل از آزمایش مodal (فصل ۲) این قطعات، مدلها معتبر می گردند و در مرحله بعد هر دو قطعه متواالی در مدل المان محدود با استفاده از لایه نازک المان به هم متصل می گردند و مشخصات دینامیکی قطعات متصله محاسبه میگردد و به روش تجربی نیز این خواص استخراج میشود از مقایسه نتایج تجربی با نتایج آزمایش آنالیز مodal می توان پارامترهای اتصال بین قطعات را محاسبه نمود (فصل ۳) و بعارت دیگر اتصالات بین قطعات را شبیه سازی می گردد.

در این مرحله هر مدل المان محدود بهینه و معتبر گردیده است. این فرایند تا زمانی ادامه پیدا می کند که کل سازه قدرتی جسم پرنده در مدل المان محدود به هم متصل شده باشد و کلیه اتصالات بوسیله آزمایش آنالیز مodal و بهینه سازی شبیه سازی شده باشند و خواص دینامیکی مدل المان محدود شبیه به خواص دینامیکی حاصل از آزمایش گردد.

۱-۲ مشخصات اجزاء سازه

موشک مورد تحلیل یک موشک سوخت جامد می باشد که طول آن ۱۱۶۳ میلیمتر و قطر آن ۱۴۸/۵ میلیمتر و متوسط وزن آن ۱۸/۸۶۵ کیلوگرم می باشد قسمتهای سازه قدرتی این موشک خود زره (شکل ۱-۱) به ترتیب عبارتند از :

کلاهک A، سرجنگی B بدنه ابتدایی C، موتور پرواز D، دریوش موتور پرواز E، بدنه میانی F و بدنه انتهایی G
جهت مدلسازی المان محدود از نرم افزار ANSYS استفاده شده است.

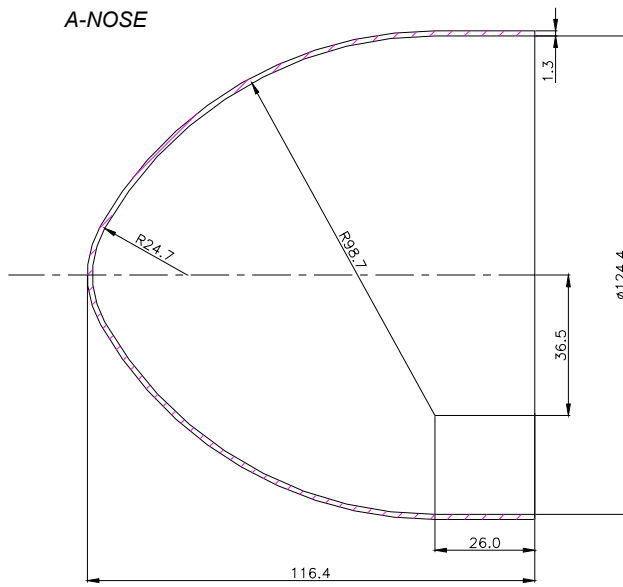


شکل ۱-۱ سازه قدرتی یک موشک خود زره

۱-۲-۱ زیر سازه بدنه کلاهک

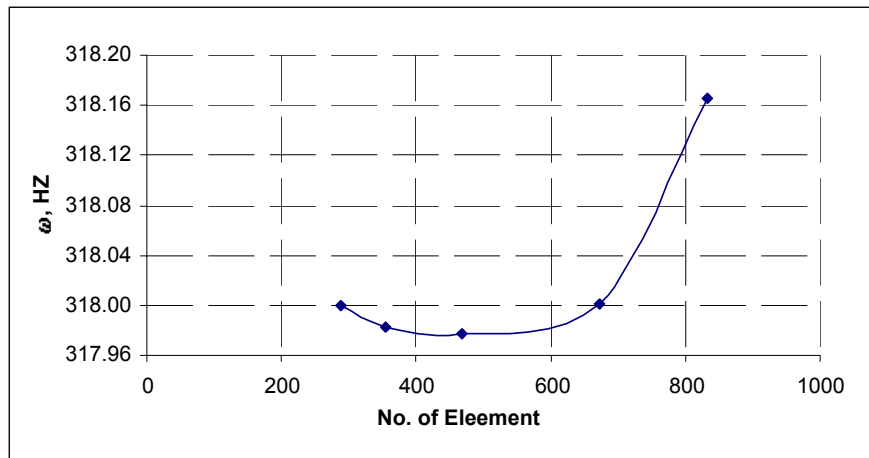
زیر سازه بدنه کلاهک (A-NOSE) بطوری که در شکل ۱-۲ نشان داده شده است دارای ضخامتی در حدود ۱/۳ میلیمتر و حد اکثر قطر آن ۱۲۴/۴ میلیمتر می باشد و از جنس آلومینیوم ساخته شده است.
جهت مدلسازی قطعه فوق و دوری از خطای پیکربندی^۱ از المان پوسته ای با هشت گره استفاده شده است که هر گره دارای شش درجه آزادی می باشد و جرم این قطعه در مدل المان محدود در حدود قطعه اصلی بدست آمده است

^۱ Configuration errors



شکل ۱-۲ ابعاد بدن کلاهک

تعداد المانهای بکار رفته ۴۶۸ عدد می باشد، در این تعداد المان خطاهای گستنگی^۱ به حداقل ممکن رسیده است و معیار سنجش این خطا نمودار تغییرات فرکانس طبیعی اول سازه نسبت به افزایش تعداد المان می باشد.



شکل ۳-۱ نمودار تغییرات فرکانس‌های طبیعی نسبت به تعداد المان

فرکانس طبیعی و شکل مودهای زیرسازه فوق به روش تحلیل مودال المان محدود پیش بینی شده است. از نتایج حاصل از این مدل المان محدود، جهت طراحی آزمایش آنالیز^۲ مودال استفاده خواهد شد.

¹ Discretisation errors

² Test planning